

# Chapter XI: 量子化场方法

## §1. 二次量子化的表述形式

$\psi(\vec{r})$  与  $\psi^\dagger(\vec{r})$  作用在 Hilbert Space 上, Hilbert Space 中的矢量代表量子化场的某一状态

引入记号  $|\psi_{NE}\rangle$ , 表示  $\hat{N}$  与  $\hat{E}$  的共同本征态  $\hat{N}|\psi_{NE}\rangle = N|\psi_{NE}\rangle$ ,  $\hat{E}|\psi_{NE}\rangle = E|\psi_{NE}\rangle$ .

并有  $\langle\psi_{NE}|\psi_{NE}\rangle = 1$ , Def  $|\psi_0\rangle$  为真空态, 且认为其唯一, 一般也用  $|0\rangle$  表示

考虑  $|\vec{r}_1, \dots, \vec{r}_N\rangle = \frac{1}{\sqrt{N!}} \psi^\dagger(\vec{r}_1) \dots \psi^\dagger(\vec{r}_N) |0\rangle$ . 定义  $\psi_{NE}(\vec{r}_1, \dots, \vec{r}_N) = \langle\vec{r}_1, \dots, \vec{r}_N|\psi_{NE}\rangle$ .

Tip:  $\langle\vec{r}_1, \dots, \vec{r}_N|\psi_{NE}\rangle$  归一化的证明. ( $\int d\vec{r}_1 \dots d\vec{r}_N |\vec{r}_1, \dots, \vec{r}_N\rangle \langle\vec{r}_1, \dots, \vec{r}_N| = \mathbb{1}$ )

$\mathbb{1}$ , 由于只在右时  $\propto |0\rangle\langle 0|$  不为零.

$$\int \prod d\vec{r}_i \psi_{NE}^* \psi_{NE} = \int \prod d\vec{r}_i \langle\psi_{NE}|\psi^\dagger(\vec{r}_1) \dots \psi^\dagger(\vec{r}_N)|0\rangle \langle 0|\psi(\vec{r}_1) \dots \psi(\vec{r}_N)|\psi_{NE}\rangle \times \frac{1}{N!}$$

$$= \int \prod d\vec{r}_i \langle\psi_{NE}|\psi^\dagger(\vec{r}_1) \dots \psi^\dagger(\vec{r}_N) \psi(\vec{r}_N) \dots \psi(\vec{r}_1)|\psi_{NE}\rangle \times \frac{1}{N!}$$

$$= \langle\psi_{NE}|\left(\int d\vec{r}_1 \dots d\vec{r}_N \psi^\dagger(\vec{r}_1) \dots \psi^\dagger(\vec{r}_N) \hat{N} \psi(\vec{r}_N) \dots \psi(\vec{r}_1)\right)|\psi_{NE}\rangle \times \frac{1}{N!}$$

根据  $[\psi, \hat{N}] = \psi \Rightarrow = \langle\psi_{NE}|\left(\int d\vec{r}_1 \dots d\vec{r}_N \psi^\dagger(\vec{r}_1) \dots \psi^\dagger(\vec{r}_N) (\psi(\vec{r}_N) \hat{N} - \psi(\vec{r}_N)) \psi(\vec{r}_N) \dots \psi(\vec{r}_1)\right)|\psi_{NE}\rangle \times \frac{1}{N!}$

$$= \langle\psi_{NE}|\left(\int d\vec{r}_1 \dots d\vec{r}_N \psi^\dagger(\vec{r}_1) \dots \psi^\dagger(\vec{r}_N) [\hat{N}^2 - \hat{N}] \psi(\vec{r}_N) \dots \psi(\vec{r}_1)\right)|\psi_{NE}\rangle \times \frac{1}{N!}$$

如此类推.  $= N! \times \frac{1}{N!} = 1$ .

Tip:  $|u_1:n_1; u_2:n_2; \dots\rangle$  定义的合理性在于  $a_i^\dagger a_i = \hat{N}_i$ ,  $[\hat{N}_i, \hat{N}_j] = 0$ . 因此可以同时对角化.

Tip: 在下节中, 大部分情形为  $a/\lambda \ll 1$  与  $na^3 \ll 1$  的近似 ( $a$  为两体相互作用散射长度,  $\lambda$  为平均热波长,  $n$  为数密度)

$$a(\vec{p}) = \frac{m}{4\pi\hbar^2} \int u(\vec{r}) e^{i\vec{p}\cdot\vec{r}/\hbar} d^3r, \quad \vec{p} \text{ 为碰撞传递动量}$$

对任何有限的  $|\vec{p}| \ll 1$ , 有  $a \approx \frac{m \int u(\vec{r}) d^3r}{4\pi\hbar^2}$  (在质壳近似中, 也有  $u = \frac{4\pi\hbar^2 a}{m} \delta(\vec{r})$  来代替奇异的)

在球对称时, 也可用散射相移写出  $\tan \eta_0(k) \approx -\frac{m a}{4\pi\hbar^2} \int_0^\infty u(r) \left[\frac{\sin(kr)}{kr}\right]^2 4\pi r^2 dr$ ,  $\cot \eta_0(k) = -\frac{1}{ka} + \frac{1}{2}k r_0 + \dots$  (和弦)

任意的  $a(\vec{r})$  的正负由  $u(\vec{r})$  排斥 or 吸引决定. 一般假设  $a > 0$ . PP 排斥.

## §2. 非理想气体的低温行为

在基  $u_{\vec{p}} = \frac{1}{\sqrt{V}} e^{i\vec{p}\cdot\vec{r}}$  下, (或任何  $u_{\vec{p}} = \frac{1}{\sqrt{V}} e^{i\vec{p}\cdot\vec{r}/\hbar}$ ) 令  $\psi$  为相互作用 Hamilton 可写为 (无自旋)

$$\mathcal{H} = \sum_{\vec{p}} \frac{p^2}{2m} a_{\vec{p}}^\dagger a_{\vec{p}} + \frac{1}{2} \sum_{\vec{p}, \vec{p}', \vec{q}} u_{\vec{p}, \vec{p}'}^{\vec{p}, \vec{p}'} a_{\vec{p}}^\dagger a_{\vec{p}'}^\dagger a_{\vec{q}} a_{\vec{q}}, \quad \langle\vec{p}', \vec{p}''|u|\vec{p}, \vec{p}\rangle = \frac{1}{V} \int d^3r e^{i\vec{p}'\cdot\vec{r}/\hbar} u(\vec{r}) \quad (\vec{p} = \vec{p}' - \vec{p}'')$$

低温近似: 粒子动能很小, 因此  $\langle\vec{p}', \vec{p}''|u|\vec{p}, \vec{p}\rangle = \frac{1}{V} \int d^3r u(\vec{r}) = u_0$ . 若有任何散射,  $u_0 = \frac{4\pi\hbar^2 a}{mV}$

动能是 (忽略) Hamilton:  $\mathcal{H} = \sum_{\vec{p}} \frac{p^2}{2m} a_{\vec{p}}^\dagger a_{\vec{p}} + \frac{2\pi\hbar^2 a}{mV} \left[ \sum_{\vec{p}} a_{\vec{p}}^\dagger a_{\vec{p}}^\dagger a_{\vec{p}} a_{\vec{p}} + \sum_{\vec{p}, \vec{q}} a_{\vec{p}}^\dagger a_{\vec{q}}^\dagger a_{\vec{q}} a_{\vec{p}} + a_{\vec{p}}^\dagger a_{\vec{p}}^\dagger a_{\vec{q}} a_{\vec{q}} \right]$

又有  $\sum_{\vec{p}, \vec{q}} a_{\vec{p}}^\dagger a_{\vec{q}}^\dagger a_{\vec{p}} a_{\vec{q}} = \sum_{\vec{p}, \vec{q}} \hat{n}_{\vec{p}} \hat{n}_{\vec{q}} = \sum_{\vec{p}} \hat{n}_{\vec{p}} (\hat{N} - \hat{n}_{\vec{p}}) = \hat{N}^2 - \sum_{\vec{p}} \hat{n}_{\vec{p}}^2$ , 类似同理, 其他.

$a_{\vec{p}}^\dagger a_{\vec{q}}^\dagger a_{\vec{p}} a_{\vec{q}} = \hat{n}_{\vec{p}} \hat{n}_{\vec{q}} - \hat{n}_{\vec{p}}$ , 类似为  $\sum_{\vec{p}} \hat{n}_{\vec{p}}^2 - \hat{N}$

代入后  $\mathcal{H} = \sum_{\vec{p}} \frac{p^2}{2m} \hat{n}_{\vec{p}} + \frac{2\pi\hbar^2 a}{mV} \left[ 2\hat{N}^2 - \hat{N} - \sum_{\vec{p}} \hat{n}_{\vec{p}}^2 \right]$ . 因此看到, 自由平动时的 V-Fock State 均为本征态.

本征值  $E[\{n_{\vec{p}}\}] \approx \sum_{\vec{p}} \frac{p^2}{2m} n_{\vec{p}} + \frac{2\pi\hbar^2 a}{mV} [2N^2 - N^2]$  (只附上  $\sum_{\vec{p}} n_{\vec{p}}^2 = O(N)$ , 在热力学极限下略?)

基态对应 \$n=0\$  $E_0 = \frac{2\pi\alpha\hbar^2 N^2}{mV}$  ,  $p = -(\frac{\partial E_0}{\partial V})_N = \frac{2\pi\alpha\hbar^2 N^2}{mV^2} = \frac{2\pi\alpha\hbar^2 n^2}{m}$

$c = (\frac{dp}{dn}) = \frac{1}{m} \frac{dp}{dn} = \frac{4\pi\alpha\hbar^2 n}{m^2}$  (代入 He 数据, 间距 \$r\_0 = 3.1\$)

$\mu_0 = (\frac{\partial E_0}{\partial N})_V = \frac{4\pi\alpha\hbar^2 n}{m}$

当 \$T\$ 有限但足够低时, 仍可用上述近似.  $\mathcal{Q}_N(V, T) = \sum_{\{n_i\}} e^{-\beta [\sum_i \frac{p_i^2}{2m} n_i + \frac{2\pi\alpha\hbar^2}{mV} (N^2 - n_i^2)]}$ ,  $Z'$  代 \$N\$ 为 \$\sum n\_i = N\$ 求和

在最价近似下, 可用 \$n\_0/N\$ 用理想气体代替. 例如对玻色子的 Bosons,  $\frac{n_0}{N} = 1 - \frac{T_c^3}{T^3}$   $T_c = (\frac{5\zeta(3/2)}{n})^{1/3}$  or  $1 - \frac{T_c}{T}$ ,  $T_c = \frac{T^3}{5\zeta(3/2)}$

$\Rightarrow \ln \mathcal{Q}(N, V, T) = \ln \mathcal{Q}_{ideal}(N, V, T) - \beta \frac{2\pi\alpha\hbar^2 N^2}{mV} (1 + \frac{2V}{V_c} - \frac{V^2}{V_c^2})$

由此有, 平均自由能  $\frac{1}{N} A(N, V, T) = \frac{1}{N} A_{id}(N, V, T) + \frac{2\pi\alpha\hbar^2}{m} (\frac{1}{V} + \frac{2}{V_c} - \frac{V}{V_c^2})$

$p = -(\frac{\partial A}{\partial V})_{N, T} = p_{id} + \frac{2\pi\alpha\hbar^2}{m} (\frac{1}{V^2} + \frac{2}{V_c^2})$ ,  $\mu = \frac{A}{N} + pV = \mu_{id} + \frac{4\pi\alpha\hbar^2}{m} (\frac{1}{V} + \frac{1}{V_c})$

与基态叠在于 基态  $v_c/v \rightarrow +\infty$  or  $n\lambda^3 \gg 1$  (非相互作用)

在相反位置, 即  $v = v_c$  时, 由此有  $p_c = p_{id} + \frac{4\pi\alpha\hbar^2}{m\lambda_c^2} \zeta(3/2) = \frac{kT_c}{\lambda_c^2} [\zeta(3/2) + 2 \zeta(3/2) \frac{a}{\lambda_c}]$

$\mu_c = \mu_{id} + \frac{8\pi\alpha\hbar^2}{m\lambda_c^2} \zeta(3/2) = 4 \zeta(3/2) kT_c \frac{a}{\lambda_c}$ ,  $Z_c = e^{\beta_c \mu_c} \approx (1 + 4 \zeta(3/2) \frac{a}{\lambda_c})$

**α. 相互作用在超冷原子 BEC 中的作用**

在 BEC 下, 可以利用 Gross-Pitaevskii Equation 描述 温度很低的相互作用.

外势假设为  $V(\vec{r}) = \frac{1}{2} m (\omega_x^2 x^2 + \omega_y^2 y^2 + \omega_z^2 z^2)$ . 无相互作用的波函数  $\psi(\vec{r}) = \frac{1}{\pi^{3/4} \sqrt{a_x a_y a_z}} e^{-\frac{1}{2} (\frac{x^2}{a_x^2} + \frac{y^2}{a_y^2} + \frac{z^2}{a_z^2})}$ ,  $a_{\alpha} = \sqrt{\frac{\hbar}{m \omega_{\alpha}}}$

在相互作用下, 假设仅对单粒子基态仍在 (修正项为  $N a / (a_x a_y a_z)^{1/3}$ , 越大相互作用越明显)

利用单粒子均处于基态的假设, 利用给 Fock State 近似使自由能 \$F\$ 减小. (只考虑 能量极小 + 加一) 的粒子)

$\Rightarrow$  GP 方程 (不含时):  $\left\{ \left[ -\frac{\hbar^2}{2m} \nabla^2 + V(\vec{r}) \right] + (N-1) \int d\vec{r}' W_2(\vec{r}, \vec{r}') |\psi(\vec{r}')|^2 \right\} \psi(\vec{r}) = \mu \psi(\vec{r})$

这是平均场近似的一种 (利用 Fock State 近似) 在  $N \gg 1$  时, 有  $N-1 \approx N$ .

尤其对于温度很低时, 相互作用了近似为 接触势  $W_2(\vec{r}, \vec{r}') = u_0 \delta(\vec{r} - \vec{r}') = \frac{4\pi\alpha\hbar^2}{m} \delta(\vec{r} - \vec{r}')$

$\Rightarrow$  GP:  $\left[ -\frac{\hbar^2}{2m} \nabla^2 + V(\vec{r}) \right] \psi(\vec{r}) + N u_0 |\psi(\vec{r})|^2 \psi(\vec{r}) = \mu \psi(\vec{r})$ . 取  $\psi(\vec{r})$  为  $\int |\psi|^2 = N$  归一化,  $\Psi = \sqrt{N} \psi$

即代为  $\left[ -\frac{\hbar^2}{2m} \nabla^2 + V(\vec{r}) \right] \Psi(\vec{r}) + u_0 |\Psi(\vec{r})|^2 \Psi(\vec{r}) = \mu \Psi(\vec{r})$  ( $u_0 = 4\pi\alpha\hbar^2 N / m$ )

1°  $N a / a_{osc} \gg 1$  ( $a_{osc} = (a_x a_y a_z)^{1/3}$ ),  $a_{osc} > 0$

对  $a_{osc} > 0$  斥力, 波函数在阱中膨胀. 波函数略为  $\psi(\vec{r}) \propto \sqrt{[\mu - V(\vec{r})] / u_0}$ , 在  $V(\vec{r}) > \mu$  时为 0.

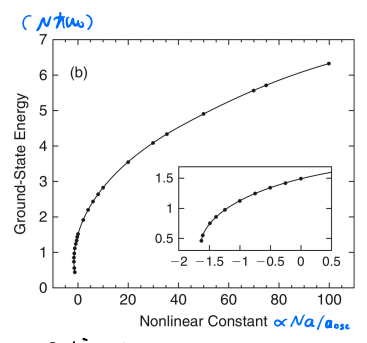
代入  $N = \frac{8\pi}{15} \left( \frac{2\mu}{m\omega_0} \right)^{3/2} \frac{\mu}{u_0}$  (?)  $\Rightarrow \mu = \frac{1}{2} \left( \frac{15 N u_0}{a_{osc}} \right)^2 \hbar \omega_0$

$E = \frac{5}{2} \mu N$ . 修正项为  $R_{\alpha} = \left( \frac{15 N a}{a_{osc}} \right)^{1/5} a_{osc} \frac{\hbar \omega_0}{u_0}$ . 则在  $N a / a_{osc} \gg 1$  时, 显著增大能量.

也使得系向并性更强, 飞行时间干涉更明显

2°  $a_{osc} < 0$ . (吸引)

此时, 若  $|N a / a_{osc}| \ll 1$ , 原子在阱中束缚下处于基态, ( $-0.575 \leq N a / a_{osc} < 0$ ) 也出现本征态



在用 Feshbach 共振调节  $\alpha$  的过程中, 发现在  $N|a_{osc}| \ll 0.96$  处很不确定

### §3. 非理想玻色气体的低能态

上一节中, 基态玻色子在相互作用带来的  $0$ -阶修正的  $0$ -阶近似下

这意味者原子也倾向于低能行为有重要影响. 因此我们元做在  $0$ -阶近似

并且由于低能, 反直觉  $\vec{p}=0$  上占据数  $n_{\vec{p}}$  的相干.

#### $\alpha$ . $\psi$ 的近似形式

$0$ -阶近似下, 仅取了  $N^2$  项, 但在更进一步开发中, 条件为  $N \times \sum_{\vec{p} \neq 0} n_{\vec{p}}^2$  项.

这在  $\psi$  中可用  $2N^2 - n_0^2$ . 忽略了  $N$  与  $\sum_{\vec{p} \neq 0} n_{\vec{p}}^2$  (均为  $O(N)$ ) 则系-律为  $\frac{1}{2} \frac{U_0}{V} \times [N^2 + 2N \sum_{\vec{p} \neq 0} n_{\vec{p}}^2]$

并且额外的在  $\sum_{\vec{p} \neq 0} U_{\vec{p}} a_{\vec{p}}^\dagger a_{\vec{p}} a_{\vec{p}} a_{\vec{p}}$  中, 条件含有两项 ( $a_0, a_0^\dagger$ ) 的项 (在  $\sqrt{}$  上期望  $\sim \sqrt{n_0} \sim \sqrt{N}$ )

又由于动能  $\epsilon_{\vec{p}}$ , 含下两项动能相反, 所以在  $2N^2 - n_0^2$  中已包含的动能项, 故有

$$\sum_{\vec{p} \neq 0} U_{\vec{p}} [a_{\vec{p}}^\dagger a_{\vec{p}}^\dagger a_0 a_0 + a_0^\dagger a_0^\dagger a_{\vec{p}} a_{\vec{p}}] \approx \frac{U_0}{2V} N \sum_{\vec{p} \neq 0} [a_{\vec{p}}^\dagger a_{\vec{p}}^\dagger + a_{\vec{p}} a_{\vec{p}}]$$

代入  $\psi$ , 最终得到, 在低能 ( $\epsilon_{\vec{p}} \ll 1$ ) 下的  $\psi$  在  $(N)$   $N \times \sum_{\vec{p} \neq 0} n_{\vec{p}}^2$  项为

$$\psi = \sum_{\vec{p} \neq 0} \frac{a_{\vec{p}}^\dagger a_{\vec{p}}}{\sqrt{2N}} + \frac{U_0}{2V} [N^2 + N \sum_{\vec{p} \neq 0} (2a_{\vec{p}}^\dagger a_{\vec{p}}^\dagger + a_{\vec{p}} a_{\vec{p}})]$$

可以翻, 简化为反合单体项的  $\psi$ , 这可以用 B 技术处理.

#### $\beta$ . $U_0$ 的更精确估计

对  $\psi$  中的  $\sum_{\vec{p} \neq 0}$  项, 在  $U_0 = \int d^3r u(\vec{r})$  已足够, 但对  $N^2$  项, 则  $0$ -阶修正在  $\psi$  上并不足够

根据  $0$ -阶近似,  $0$ -阶修正为  $\langle 0 | u(\vec{r}) | 0 \rangle = \frac{U_0}{V}$ .  $0$ -阶近似下有

$\sum_{\vec{p} \neq 0} \frac{|\langle \vec{p} | u(\vec{r}) | 0 \rangle|^2}{E_0 - E_{\vec{p}}}$ , 由于处理 = 粒子的 = 体板板,  $E_{\vec{p}} = \frac{p^2}{m}$ . 由  $u$  有

$$U = \frac{U_0}{V} + \frac{1}{V} \sum_{\vec{p} \neq 0} \frac{|\int u(\vec{r}) e^{-i\vec{p}\cdot\vec{r}} d^3r|^2}{-p^2/m} \quad \text{即有} \quad \frac{U_0}{V} \rightarrow \frac{U_0}{V} - \frac{U_0^2 m}{V^2} \sum_{\vec{p} \neq 0} \frac{1}{p^2} = \frac{4\pi\alpha\hbar^2}{mV} (???)$$

$$\langle 0 | U_0 = \frac{4\pi\alpha\hbar^2}{m} (1 + \frac{4\pi\alpha\hbar^2}{V} \sum_{\vec{p} \neq 0} \frac{1}{p^2})$$

#### $\gamma$ . $\psi$ 的低能态

代入折的  $U_0$ . 且只在  $N^2$  项里保留  $0$ -阶项

$$\psi = \frac{2\pi\alpha\hbar^2}{m} \frac{N^2}{V} (1 + \frac{4\pi\alpha\hbar^2}{V} \sum_{\vec{p} \neq 0} \frac{1}{p^2}) + \frac{2\pi\alpha\hbar^2}{m} \frac{N}{V} \sum_{\vec{p} \neq 0} (2a_{\vec{p}}^\dagger a_{\vec{p}}^\dagger + a_{\vec{p}} a_{\vec{p}}) + \sum_{\vec{p} \neq 0} \frac{p^2}{2m} a_{\vec{p}}^\dagger a_{\vec{p}}$$

利用 Bogoliubov 变换,  $b_{\vec{p}} = (a_{\vec{p}} + a_{\vec{p}}^\dagger) (1 - \alpha_{\vec{p}}^2)^{-1/2}$ .  $b_{\vec{p}}$  与  $b_{\vec{p}}^\dagger$  互耗,  $\alpha_{\vec{p}} = \frac{mV}{4\pi\alpha\hbar^2 N} \sqrt{\frac{4\pi\alpha\hbar^2 N}{mV} + \frac{p^2}{2m} - \epsilon(\vec{p})} < 1$

$$\epsilon(\vec{p}) = \left[ \frac{4\pi\alpha\hbar^2 N}{mV} \frac{p^2}{m} + \left(\frac{p^2}{2m}\right)^2 \right]^{1/2} \quad \text{且对 } a \text{ 有 } \epsilon(\vec{p}) \Rightarrow \psi = E_0 + \sum_{\vec{p} \neq 0} \epsilon(\vec{p}) b_{\vec{p}}^\dagger b_{\vec{p}}$$

$$E_0 = \frac{2\pi\alpha\hbar^2 N^2}{mV} + \frac{1}{2} \sum_{\vec{p} \neq 0} \left\{ \epsilon(\vec{p}) - \frac{p^2}{2m} - \frac{4\pi\alpha\hbar^2 N}{mV} + \left(\frac{4\pi\alpha\hbar^2 N}{mV}\right)^2 \frac{m}{p^2} \right\}$$

$b_{\vec{p}}$  与  $b_{\vec{p}}^\dagger$  是“准粒子” (元激发) 的湮灭与产生算符. 在  $\psi$  中, 低能性质, 这导致  $\psi$  的特征.

$\psi$  的相互作用基态  $|\psi_0\rangle$  定义为  $\forall \vec{p} \neq 0 \quad b_{\vec{p}} |\psi_0\rangle = 0$  的态, 基态能量为  $E_0$

若引入  $\alpha = \sqrt{\frac{V}{8\pi\alpha\hbar^2 N}}$  的无量纲常数, 则  $\psi$  的本征态为  $\psi = \sum_{\vec{p} \neq 0} \dots$

$$E_0 = \frac{2\pi\alpha\hbar^2 N^2}{mV} \left[ 1 + \left( \frac{128Na^3}{\pi V} \right)^{1/2} \int_0^\infty dx \left[ x^2 (x\sqrt{x^2+2} - x^2 - 1 + \frac{1}{2x}) \right] \right] \quad (\text{教材附录已收敛!!})$$

$$\Rightarrow \frac{E_0}{N} = \frac{2\pi\alpha\hbar^2 n}{m} \left[ 1 + \frac{128}{15\pi} n^{1/2} (na^3)^{1/2} \right], \text{ 其中 } n \text{ 为 数密度, 任意为 } \frac{E_0}{N} \ll \sqrt{na^3} \text{ 展开的米而取 (任意为 } n \cdot na^3 \ll 1)$$

Tip: 反进一步研究发现  $T \propto (na^3) \ln(128na^3)$ , 代表了元以用幂级数表示.

### §. 基态的一些性质

$$\left[ \begin{aligned} &\text{在子佩之状态下 (ds, dN=0)} \quad P_0 = - \left( \frac{\partial E_0}{\partial V} \right)_N = n^2 \frac{\partial (E_0/N)}{\partial n} = \frac{2\pi\alpha\hbar^2 n^3}{m} \left[ 1 + \frac{64}{5\pi} n^{1/2} (na^3)^{1/2} \right] \quad (\text{与 } \xi_3 \text{ 中 } \xi_3 \text{ 相同 } \xi_3 - 1) \\ &C = \frac{1}{m} \frac{dP_0}{dn} = \frac{4\pi\alpha\hbar^2 n}{m^2} \left[ 1 + \frac{16}{\pi} n^{1/2} (na^3)^{1/2} \right] \quad (\text{第一级给出了双峰, 例如 } {}^4\text{He 中 } \xi_3 \text{ 为 } 4.39, \text{ 但 } \xi_3 \text{ 上 } {}^4\text{He 不行 } \xi_3 \text{ 为 } 1) \end{aligned} \right.$$

基态完全不在元级数, 但  $a_0^\dagger a_0$  并不为 0.

利用递进  $a_0^\dagger = (b_0^\dagger - \alpha_0^\dagger b_0^\dagger) (1 - \alpha_0^\dagger)^{-1/2}$ , 与  $a_0^\dagger$  子佩

$$\langle \psi_0 | a_0^\dagger a_0 | \psi_0 \rangle = \frac{\alpha_0^2}{1 - \alpha_0^2} = \bar{n}_0 = \frac{x^2 + 1}{2x\sqrt{x^2 + 2}} - \frac{1}{2} \quad (\bar{n}_0 \text{ 代表相互作用量下 } \xi_3 \text{ 子佩})$$

$$\text{而 } \xi_3 \text{ 级数 } \xi_3 \text{ 子佩为 } \sum_{\vec{k}} \bar{n}_k = N \times \left[ \frac{32}{\pi} (na^3)^{1/2} \int_0^\infty dx \left[ x^2 \left( \frac{x^2 + 1}{x\sqrt{x^2 + 2}} - 1 \right) \right] \right] = N \times \frac{8}{3\pi^{1/2}} (na^3)^{1/2}$$

符合  $\propto N^{1/2} (na^3)^{1/2}$  因子的子佩, 是  $N$  的更低阶.

$$\bar{n}_0 = N - \sum_{\vec{k}} \bar{n}_k = N \left[ 1 - \frac{8}{3\pi^{1/2}} (na^3)^{1/2} \right]$$

Tip: 以上在米中 Lee, Huang, Yang 三人利用更复杂的求得的.  $\bar{n}_0$  对研究相互作用量很重要

### §4. 玻色液体的能谱

在 §3 中已得, 对低密度的弱相互作用低维玻色液体有元级数几级为

$$\varepsilon(p) = [p^2 u^2 + (p^2 m)^2]^{1/2}, \quad u = (\hbar^2 \alpha n)^{1/2} \text{ (m/m)}. \quad (\text{由 Bogolubov 首先求得, 见 When Dav})$$

1° 在  $p \ll mu$  or  $p \ll \hbar(\alpha n)^{1/2}$  时, 能谱近似为线性的  $\varepsilon \propto up$ ,  $u = \frac{\hbar^2 \alpha}{m}$  给出了产建在  $p \rightarrow 0$  时的极限值.

2° 在  $p \gg mu$ , 近似有  $\varepsilon \propto p^2/m + mu^2$ , 与经典一致.

但注意, 这与  ${}^4\text{He}$  中的能谱有明显不同, 这个谱单峰, 而  ${}^4\text{He}$  谱有光子谷. (原因在于  $\alpha n \ll 0.2$ , 非  $\ll 1$  的稀气体)

Feynmann 后来解决了  ${}^4\text{He}$  中元级数问题, 从希性原理的 M3 以下结果

Feynmann: (i) 玻色液体会发生类似理想气体在动量空间凝聚的相变, 总会存在相互作用.

(ii) 在  $T \ll T_c$  时, 液体唯一子佩级数与纵波相变, 即声子. 保持液体总质不变的长程运动不会构成级数, 它们与基态差别仅在于原子运动.

由于能谱在原子尺度上的运动, 但有能隙  $\Delta$ , 因此仅在  $T \ll \Delta/k_B$  下出现, 例如光子

(iii) 当存在一种级数时, 液体波函数级数化

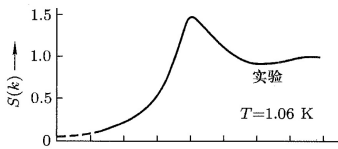
$$\psi = \psi_0 \sum_{\vec{k}} f(\vec{k}) \quad , \quad \psi_0 \text{ 为基态波函数 (正交对称)}$$

$f(\vec{k})$  的严格特性由波函数原理确定.

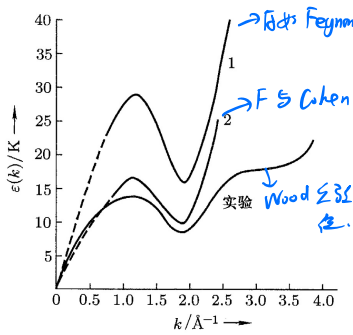
$$f(\vec{k}) \text{ 的最优选择为 } f(\vec{k}) = e^{i\vec{k} \cdot \vec{r}}, \text{ 对应的能为 } \varepsilon(\vec{k}) = \frac{\hbar^2 k^2}{2mS(\vec{k})}, \quad S(\vec{k}) = 1 + n \int \frac{d\vec{r}}{V} (g(\vec{r}) - 1) e^{i\vec{k} \cdot \vec{r}} d\vec{r}. \quad (\text{略过了 } \xi_0 \text{ 部分})$$

由此得  $\Psi = \Psi_0 \sum_{\vec{r}_i} e^{i\vec{k} \cdot \vec{r}_i}$  ; 与波函数的动量为  $\vec{p}$ ,  $p_{\Psi} = (\sum_{\vec{r}_i} -i\hbar \nabla_{\vec{r}_i}) \Psi_0 \sum_{\vec{r}_i} e^{i\vec{k} \cdot \vec{r}_i} = \hbar \vec{k} \Psi$ .

若将  $\hbar \vec{k}$  反义为与波函数取  $\vec{r}_i$  的动量  $\vec{p}$ , 则  $\epsilon(\vec{p}) = \frac{p^2}{2mS(\vec{p})}$ . 若者利用  $g(\vec{p})$  即可获得  $\epsilon(\vec{p})$



如左图,  $S(k)$  在  $k \ll 1$  时随  $\hbar k / 2mc$  线性增加. 在  $k = \pi / r_0$  最大 (对应  $g(\vec{p})$  在  $r_0$  处最大)  
对  $^4\text{He}$ ,  $r_0 \approx 3.6 \text{ \AA}$ . 再之后减小, 并伴有振荡 (对应  $g(\vec{p})$  的振荡)



因此相应有  $\epsilon(k)$  在  $k \ll 1$  时  $\propto k$  线性上升. 在  $k \approx 2 \text{ \AA}^{-1}$  处有一个凹陷 (He)

对应了  $S(k)$  的极大, 最低态为  $\hbar^2 k^2 / 2m$

Feynman 将  $\rho$  子 S 粒子 (纳入一套近似, 且仍由液体结构  $S(k)$  决定)

(这里无旋转, 因此  $\rho$  子自旋不为?)

### §5. 具有量子化环流的状态

§4. 中找到的激波形式, 指出不及及  $\hbar$  的长程运动在  $T \rightarrow 0$  时不构成激波

但在  $T$  非零时, 可能存在一些整体的长程运动. 也可作为元激波

Thm. Feynman 环流定理: 玻色超流体中的速度分布满足  $\oint \vec{v}_s \cdot d\vec{l} = n \frac{h}{m} \quad (n \in \mathbb{Z})$

考虑一个环形的超流体, 质量为  $\Psi_0(\vec{r}_1, \dots, \vec{r}_N)$ . 若存在运动  $\vec{v}_s$ . 那么根据波函数的单值性  
 $\Psi = e^{i\vec{p} \cdot \vec{R} / \hbar} \Psi_0$ .  $\vec{R}(t) = \sum_{\vec{r}_i} \vec{r}_i(t) / N$ ,  $\vec{P} = Nm \vec{v}_s$ ,  $\Psi = \Psi_0 e^{im(\vec{v}_s \cdot \sum_{\vec{r}_i} \vec{r}_i) / \hbar}$

在各粒子  $\vec{r}_i$  沿  $\vec{v}_s$  运动时,  $\Psi$  不变. 但若粒子有任意位移, 近似不改  $\Psi$ , 那么也近似成立

$\Delta \phi = \frac{m}{\hbar} \sum_{\vec{r}_i} (\vec{v}_s \cdot \Delta \vec{r}_i)$ . 在粒子在一个环上占据相邻位置时, 整体不变, 相位差为  $2\pi n$

$\Delta \vec{r}_i$  构成了一个回路. 由此有  $\frac{m}{\hbar} \oint \vec{v}_s \cdot d\vec{l} = n \times 2\pi$  or  $\oint \vec{v}_s \cdot d\vec{l} = n \times \frac{h}{m} \quad (\vec{v}_s = \vec{v}_s(\vec{r}_i))$

Tip: 量子环流为环流量子. 与 Bohr 量子化条件  $\oint p dq = nh$  很相似, 但前者用于宏观, 后者用于微观

据 Stokes 公式  $\oint \vec{v}_s \cdot d\vec{l} = \int_S (\nabla \times \vec{v}_s) \cdot d\vec{\omega} = n \frac{h}{m}$ . 也可理解为速度通量量子化

而对于  $S$  为半连通区域时,  $S$  可连位线至  $\infty$ . 若  $\vec{v}_s$  连续, 那么  $\oint \vec{v}_s \cdot d\vec{l} \rightarrow 0$ ; 但若 (则) 可以绕环文化

因此, 在速度场处处连续的单连通区域中,  $\nabla \times \vec{v}_s = 0$ . (这定胡通做  $\vec{A}$  的条件)

Tip: 超流与超导体有很强相似性.

超流

超导体

环流量子  $\frac{h}{m}$

磁通量子  $\frac{h}{2e}$

机械动量  $m \vec{v}_s$

Cooper pair 电荷动量  $2e \vec{A}$

朗道条件  $\nabla \times \vec{v}_s = 0$

朗道条件 (一部分)  $\nabla \times \vec{A} = \vec{B} = 0$

但若速度场不连续 (有奇点) 那么可以形成围绕奇点的流动.

例如有柱对称程的流流.  $v_e=0, v_p = \frac{K}{2\pi e}, v_e=0$ .  $\rho=0$  为连续介质.  $\int \vec{v} \cdot d\vec{l} = \underline{K}$  (P 在合轴上)

从  $\rho=a$  到  $\rho=b$  这一段内, 正方向单位长度流线的经典电量为

$$\frac{E}{L} = \int_a^b \frac{1}{2} [2\pi \rho] d\rho \times mn_0 \times \left(\frac{K}{2\pi e}\right)^2 = \frac{mn_0 K^2}{4\pi} \ln(b/a), \quad b \text{ 远大于 } a, \quad a \text{ 为原子间距 (一般与流线的间距)}$$

对量子力学相干. 一般  $k$ - $\pi$  自洽波函数  $\psi(\vec{r})$  描述流流.  $\psi(\vec{r}) = (n^*)^{1/2} e^{iS\phi} f_s(\rho)$

$n(\rho) = |\psi(\rho)|^2 = n^* f_s^2(\rho)$ . 若取  $\rho \rightarrow \infty, f_s(\rho) \rightarrow 1$ , 则  $n^*$  为流流远向中心处流流.

$$\vec{v}(\rho) = \frac{\hbar}{2im|\psi|^2} (\psi^* \nabla \psi - \psi \nabla \psi^*) = \frac{\hbar}{m} \nabla S = (0, 0, \frac{\hbar}{m}, 0).$$

对  $\psi$   $v_p = \frac{K}{2\pi e} \Rightarrow K = \frac{S\hbar}{m}$ , 而  $K$  量子化, 因此有  $S \in \mathbb{Z}$  (且对于有边界相干, 仅取奇数  $S \in \mathbb{Z}^*$ )

且利用价以下, 用  $n$  量子相互作用 GP 方程确定  $f_s(\rho)$   $[-\frac{\hbar^2}{2m} \nabla^2 + u_0 |\psi|^2] \psi = \epsilon \psi, u_0 = \frac{4\pi a \hbar^2}{m}$

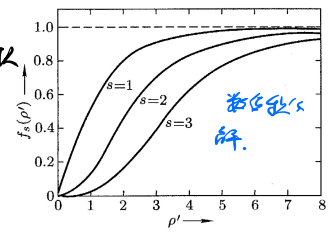
在  $\rho \rightarrow \infty$  时有  $n(\rho) \rightarrow n^*$  因此对任一  $f_s(\rho)$  均有在  $\rho \rightarrow \infty$  时,  $(-\frac{\hbar^2}{2m} \nabla^2 \rightarrow 0) u_0 n^* = \epsilon, \epsilon = 4\pi a \hbar^2 n^* / m$

将  $\epsilon$  与  $\psi$  表达式代入方程, 得  $\frac{d^2 f_s}{d\rho^2} + \frac{1}{\rho} \frac{df_s}{d\rho} + (1 - \frac{S^2}{\rho^2}) f_s - f_s^3 = 0, \rho' = (\pi \hbar a n^*)^{-1/2} \rho = L \rho$ .

1°  $\rho \rightarrow 0$ .  $v$  很大, 会有很大的离心力, 导致  $n \rightarrow 0$ . 因此  $\rho \rightarrow 0$  的  $f_s$  在趋于  $\pm$ , 由此方程  $\Rightarrow$  3 个

用这方程能化为 Bessel 方程  $f_s(\rho') \sim J_S(\rho') \sim (\rho')^S$

2°  $\rho \rightarrow \infty$  此时有  $f_s \sim 1$ , 由于方程 2 头两项,  $f_s$  几乎变化  $f_s(\rho') \sim 1 - \frac{S^2}{2\rho'^2}$



由此, 在非均匀 (a) 玻色气体 (价正价负流) 下, 只有量子化流流.

亦即流流大小

且由于  $n(\rho)$  随  $\rho \rightarrow 0$  而趋于  $\pm$ , 因此流流可并程不会有奇异性;  $L = (\pi \hbar a n^*)^{-1/2}$  为  $n$  的变化长度, 对  $^4\text{He}, L \sim 1 \text{ \AA}$

在  $S=1, 3, 5$ , 利用已知  $f_s(\rho)$  求单位长度  $E_{\text{quantum}}/L \sim \frac{\hbar^2 n^*}{4\pi m} \ln(\frac{R}{L})$ ,  $R$  为区域半径. 不会有奇异性

半 (总电量为  $\frac{\hbar^2 n^*}{4\pi m} \{ \ln(R/a), \ln(R/a), \ln(R/a) \}$  ( $K$  与  $sh$ ,  $b$  与  $R$  替代, 有奇异性)

Tip: 从上面看到, 1 个  $S$  流流流流大于  $S$  个  $1$  流流流流, 因此相对不稳定.

但太阳也可流出现.

流流由上述证明  $^4\text{He}$  超流中量子化流流的存在, 实验也证明流流的存在.

S6. 量子化流环和超流功性破缺.

Feynman 通过考虑直径为  $D$  的管中流流  $^4\text{He II}$ , 得到产生量子流流的临界速度

$$v_0 = \frac{\hbar}{mD} \ln(D/L), \quad \text{其中 } L \text{ 为 } (\pi \hbar a n^*)^{-1/2} \sim 1 \text{ \AA}$$

这材料约  $200 \text{ m/s}$  ( $D \sim 10^{-7} \text{ m}$ ). 但  $^4\text{He}$  超流速度为  $0.1 \text{ m/s}$ . 这差一个量级.

不过这比普朗克-玻尔兹曼流流的过流材料, 且也解释材料随管径的变化

S5. 中讨论了对称的线性流流. 但一般流流流流弯曲, 若不终止于壁或液体自由表面

那么流流形成一条闭合曲线: 流环. 量子化条件也成立.

流环  $n=0$  的流环

一般环半径  $r \gg$  流环尺寸  $L$ . 流环各环元产生流量相加形成环中流流

涡环将有垂直于环面的速度!  $v \sim \frac{S\hbar}{2\pi r}$ ,  $S$  为涡旋波数. (由此可有  $E(p)$  关系)

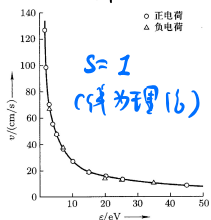
假设一对线性涡旋相距  $2r$ , 它们均有  $K = \frac{S\hbar}{m}$ , 则各自在对方处速度为  $\frac{S\hbar}{m \times 2\pi \times 2r} = \frac{S\hbar}{4\pi m r}$

但若绕成一个涡环, 实际上它比线性涡旋还大一圈, 但仍为同一速度

在  $r \gg l$  时, 可用线性涡旋近似.  $E \sim 2\pi^2 \hbar^2 n_0 s^2 m^{-1} r \ln(\frac{r}{l})$

由于  $r \gg l$ ,  $\frac{\partial E}{\partial r}(r \ln \frac{r}{l}) = \ln \frac{r}{l} + 1 \sim \ln \frac{r}{l}$ , 因此可近似将  $\ln$  看作常数,  $E \propto r$  依然由  $r$  支配!

此时有  $v \propto E^{-1}$ , 涡环能差越大运动越快 ( $M \propto r^3, v \propto r^{-1}, E \propto M v^2 \propto r$ )



如左图, 在实验中真的观测到类似涡环. 涡环环流  $v \sim (1.00 \pm 0.003) \times 10^3 \text{ cm}^2/\text{s}$   
 $S \hbar/m = 0.997 \times 10^3 \text{ cm}^2/\text{s}$  很接近, 且例行有一个  $\sim 12 \mu$  的涡核.

根据朗道判据  $v_c = (E/p)_{\min}$ . 涡环的经典动量为  $p = 2\pi^2 \hbar n_0 r^2$

(或根据  $v = \frac{\partial E}{\partial p} = \frac{dE}{dP} (\frac{dP}{dP})^{-1}$ , 在一阶近似下成立; 且有  $E \propto p^{1/2}$ , 通过引入带电环加电荷) 论证.

代入  $E \propto p^{1/2}$   $v_c \sim [\frac{\hbar S}{mR} \ln(R/l)]_{\min}$ , 在  $r_{\min} \sim r_{\max} = R$  时有  $v_c \sim \frac{\hbar S}{mR} \ln(R/l)$

与 Fermion 估计一致, 这里用  $R$  和  $l$ . 且仍比  $l$  大一个数量级, 但有较好理论基础.

Tip: 在  $r \sim R$  时, "线性涡旋" 近似会失效, 涡环速度下降约  $1/10$  (在图中边界效应)

$v_c \approx 0.46 \frac{\hbar}{mR}$  ( $s=1$ ) (解析近似), 实际实验数据  $\Rightarrow v_c \approx 0.59 \frac{\hbar}{mR}$  (不仅考虑壁, 也考虑线性涡旋边界)  
 ( $\sim 7 \text{ cm/s}$ , 慢了) ( $\sim 9 \text{ cm/s}$ , 比  $13 \text{ cm/s}$  还小一些)

### §7. 非理想费米气体的低能态,

这时的空间应为轨道自旋, 因此基态更改为  $|\vec{p}, \sigma\rangle$ .  $\sigma = \pm \frac{1}{2}$

由于  $\vec{p}$  中的  $\vec{p}$ ,  $W_{int}$  均与自旋无关, 因此在动量守恒上再加一自旋守恒.

$$y_e = \sum_{\vec{p}, \sigma} \frac{p^2}{2m} a_{\vec{p}, \sigma}^\dagger a_{\vec{p}, \sigma} + \frac{1}{2} \sum' U_{\vec{p}_1, \sigma_1; \vec{p}_2, \sigma_2} a_{\vec{p}_1, \sigma_1}^\dagger a_{\vec{p}_2, \sigma_2}^\dagger a_{\vec{p}_2, \sigma_2} a_{\vec{p}_1, \sigma_1}$$

其中  $\sum'$  代表对  $\vec{p}_1 + \vec{p}_2 = \vec{p}_1 + \vec{p}_2$ ,  $\sigma_1 + \sigma_2 = \sigma_1 + \sigma_2$  求和,  $U_{\vec{p}_1, \sigma_1; \vec{p}_2, \sigma_2} = \langle \vec{p}_1, \sigma_1; \vec{p}_2, \sigma_2 | U(22) | \vec{p}_1, \sigma_1; \vec{p}_2, \sigma_2 \rangle$

矩阵元  $U$  与两体相互作用散射长度  $a$  相关. 在低能相干下, 可近似  $U$

$$U_{0, \sigma_1; 0, \sigma_2} \text{ 替代 } U_{\vec{p}_1, \sigma_1; \vec{p}_2, \sigma_2}$$

本征中, 若  $\sigma_1 = \sigma_2$  ( $= \sigma_1' = \sigma_2'$ ) 那么由于反对称, 本征中  $a_{\vec{p}_1, \sigma_1}^\dagger a_{\vec{p}_2, \sigma_2}^\dagger a_{\vec{p}_2, \sigma_2} a_{\vec{p}_1, \sigma_1} + a_{\vec{p}_1, \sigma_1}^\dagger a_{\vec{p}_2, \sigma_2}^\dagger a_{\vec{p}_1, \sigma_1} a_{\vec{p}_2, \sigma_2} = 0$

因此这一部分的本征为零, 只有  $\sigma_1 \neq \sigma_2$  ( $\Rightarrow \sigma_1' \neq \sigma_2'$ ) 的部分, 即共 4 种了. 对于  $\sigma_1 = \sigma_1'$  这四种中又分为两种, 因此  $\sigma_1 = \sigma_2'$  (或  $\sigma_1 = \sigma_2$ )

$$\Rightarrow y_e = \sum_{\vec{p}, \sigma} \frac{p^2}{2m} a_{\vec{p}, \sigma}^\dagger a_{\vec{p}, \sigma} + \frac{U_0}{V} \sum' a_{\vec{p}_1, \sigma_1}^\dagger a_{\vec{p}_2, \sigma_2}^\dagger - a_{\vec{p}_2, \sigma_2} a_{\vec{p}_1, \sigma_1}, \quad \frac{U_0}{V} = (U_{0, \sigma_1; 0, \sigma_2} - U_{0, \sigma_2; 0, \sigma_1}), \quad \sum' \text{ 为对 } \vec{p}_1 + \vec{p}_2 = \vec{p}_1' + \vec{p}_2' \text{ 求和}$$

元征如 Bosons 利用 Bogoliubov 变换是因为不存在一个以  $a$  为基, 不可将四个  $a$  近似为两个  $a$

因此以下使用微扰论计算其本征值, 将第二个本征看作微扰.

$$E^{(0)} = \sum_{\vec{p}, \sigma} \frac{p^2}{2m} n_{\vec{p}, \sigma}, \quad |\varphi^{(0)}\rangle \text{ 为 } n_{\vec{p}, \sigma} \text{ 代表的 Fock State.}$$

对于热平衡态, 求  $\overline{n_{\vec{p}, \sigma}} = \frac{1}{Z} \text{Tr} \left[ e^{-\beta H} n_{\vec{p}, \sigma} \right]$ ,  $Z = e^{-\beta U_0}$  为热力学函数.

并由配分函数 (取  $g=2, E \in \sigma \pi \lambda$ )  $E^{(0)} = V^3 \frac{3kT}{\lambda^3} f_{5/2}(z_0)$ ,  $n = \frac{2}{\lambda^3} f_{3/2}(z_0)$

$$E^{(1)} = \frac{U_0}{V} \sum_{\vec{p}, \sigma} n_{\vec{p}, \sigma} + n_{\vec{p}, -\sigma} = \frac{U_0}{V} N_+ + N_- \quad (\text{一阶微扰下取平均值}) \quad \text{一阶微扰修正不计了.}$$

这也可以给出热平衡的  $\overline{N_+} = \overline{N_-} = \frac{1}{2} N$ ,  $\overline{N_+ N_-} = \frac{1}{4} N^2$  (平均分布且由  $E^{(0)}$  决定).

$$\overline{E^{(1)}} = \frac{U_0}{4V} N^2 = V \frac{U_0}{\lambda^3} [f_{3/2}(z_0)]^2. \quad \text{若代入 } U_0 \approx 4\pi a \hbar^2 / m. \quad (\text{低密度极限})$$

$\Rightarrow E^{(1)} = V \frac{2kT}{\lambda^3} \left(\frac{a}{\lambda}\right) [f_{3/2}(z_0)]^2$  因此低密度极限下  $a \ll \lambda$ , 忽略修正项 (一阶).

$$E_n^{(2)} = \sum_{m \neq n} \frac{1V_{nm}^2}{E_n^{(0)} E_m^{(0)}} \Rightarrow \text{对 } V \text{ Fock State.} \quad E^{(2)} = \frac{2U_0^2}{V^2} \sum_{\vec{p}, \vec{p}'} \frac{n_{\vec{p}} + n_{\vec{p}'} - (1-n_{\vec{p}})(1-n_{\vec{p}'})}{(p^2 + p'^2 - p^2 - p'^2)/2m}$$

因此, 本征态仅有  $(\vec{p}, \vec{p}')$  与  $(\vec{p}', \vec{p})$  未占据时才有贡献.

但先说  $E_n^{(2)}$  无贡献, 因为  $U_0$  也有关于  $a$  的一阶修正

$$\frac{4\pi a \hbar^2}{mV} \approx \frac{U_0}{V} + 2 \frac{U_0^2}{V^2} \quad \frac{1}{(p^2 + p'^2 - p^2 - p'^2)/2m} \Rightarrow U_0 \approx \frac{4\pi a \hbar^2}{m} \left[ 1 - \frac{4\pi a \hbar^2}{mV} \frac{1}{(p^2 + p'^2 - p^2 - p'^2)/2m} \right]$$

将其代入  $E^{(1)}$  中 获得第一阶修正  $E_I^{(2)} = -2 \left(\frac{4\pi a \hbar^2}{mV}\right)^2 \sum_{\vec{p}, \vec{p}'} \frac{n_{\vec{p}} + n_{\vec{p}'}}{(p^2 + p'^2 - p^2 - p'^2)/2m}$

$$E^{(2)} \text{ 中仅留 } U_0 \text{ 一阶与 } \vec{p} \text{ 无关项的 } E_{II}^{(2)} = 2 \left(\frac{4\pi a \hbar^2}{mV}\right)^2 \sum_{\vec{p}, \vec{p}'} \frac{n_{\vec{p}} + n_{\vec{p}'} - (1-n_{\vec{p}})(1-n_{\vec{p}'})}{(p^2 + p'^2 - p^2 - p'^2)/2m}$$

$$\Rightarrow E^{(2)} = E_I^{(2)} + E_{II}^{(2)} = -4 \left(\frac{4\pi a \hbar^2}{mV}\right)^2 \sum_{\vec{p}, \vec{p}'} \frac{n_{\vec{p}} + n_{\vec{p}'} - n_{\vec{p}} + \delta_{\vec{p}, \vec{p}'} n_{\vec{p}}}{(p^2 + p'^2 - p^2 - p'^2)/2m} \quad (\text{应用 } a \rightarrow 0) \quad (4 \text{ 阶修正项 } (\vec{p}, \vec{p}') \leftrightarrow (\vec{p}', \vec{p}))$$

$$\text{最终 } E^{(2)} = V \frac{8kT}{\lambda^3} \left(\frac{a}{\lambda}\right)^2 F(z_0), \quad F(z_0) = - \sum_{r, s, t=1}^{\infty} \frac{(-z_0)^{r+s+t}}{\sqrt{r^2 + s^2 + t^2}}$$

$$\text{最终在热平衡, 修正至二阶修正 } E = V \frac{kT}{\lambda^3} \left[ 3f_{5/2}(z_0) + 2 \frac{a}{\lambda} (f_{3/2}(z_0))^2 + \frac{8a^2}{\lambda^2} F(z_0) \right] \quad (z_0 \text{ 由 } n, T \text{ 决定})$$

对于  $T \rightarrow 0$  的 Fermions 基态 ( $z_0 \rightarrow +\infty$ ) 此时用各态最近行为代替后有

$$f_{5/2}(z_0) \approx (\ln z_0)^5 / \Gamma(5/2), \quad F(z_0) \approx \frac{16(11-2\ln 2)}{105\pi^{3/2}} (\ln z_0)^{7/2}, \quad \ln z_0 \approx \lambda^2 \left(\frac{3\pi^{1/2} n}{g}\right)^{2/3}$$

$$\text{代入的基态下有 } \frac{E_0}{N} = \frac{3}{10} \frac{\hbar^2}{m} (3\pi^2 n)^{2/3} + \frac{\pi a \hbar^2}{m} n \left[ 1 + \frac{4}{35} (11-2\ln 2) \left(\frac{3}{\pi}\right)^{1/3} n^{1/3} a \right]$$

$$\text{基态压强为 } P = - \frac{\partial E_0}{\partial V} = n^2 \frac{\partial (E_0/N)}{\partial n} = \frac{1}{5} \frac{\hbar^2}{m} (3\pi^2 n)^{2/3} n + \frac{\pi a \hbar^2}{m} n^2 \left[ 1 + \frac{8}{35} (11-2\ln 2) \left(\frac{3}{\pi}\right)^{1/3} n^{1/3} a \right]$$

$$C_0 = \frac{1}{m} \frac{dP}{dn} = \frac{1}{3} \frac{\hbar^2}{m^2} (3\pi^2 n)^{2/3} + \frac{2\pi a \hbar^2}{m^2} n \left[ 1 + \frac{4}{35} (11-2\ln 2) \left(\frac{3}{\pi}\right)^{1/3} n^{1/3} a \right]$$

### §8. 费米液体的能谱: 朗道唯象理论.

在 §4 中讨论了玻色液体的能谱与其主要特征, 这样的能谱称为玻色型谱

预期由自旋 1/2 费米子组成的液体, 比如  $^3\text{He}$  液体, 会有不同的能谱, 不同的为费米型谱.

Tip: 费米子组成液体不一定有费米型谱, 谱型主要取决于相互作用强弱.

这里的讨论基于排斥, 对于 Fermions 无法形成玻色对. 吸引在 §9 中讨论, §8 讨论排斥典型能谱.

Landau 以<sup>费米</sup>构造理论 Fermi Gas 的近似来构造量子液体而费米能谱.

假设, 在逐渐“加入”相互作用下, 气态逐渐变为液体. 在此过程中, 动能与势能排斥保持不改

且在排列中，气体粒子的角已由液体中的元激发替代（准粒子）其数目与粒子数一致且遵循 Fermi 统计

每个准粒子均有一确定动量  $\vec{p}$ ，因此可由  $n(\vec{p})$  来描述分布， $2 \int n(\vec{p}) \frac{d^3p}{(2\pi)^3} = N/V =: \int n(\vec{p}) d\vec{p}$

取期望  $n(\vec{p})$  为了求决定  $\vec{p}$  的  $E$ ，但  $E \neq \sum n(\vec{p}) E(\vec{p})$ ，而是  $E = E[n(\vec{p})]$  作为函数。

本身也与  $[n(\vec{p})]$  相关

$$E(\vec{p}) := \frac{\delta E[n(\vec{p})]}{\delta n(\vec{p})} \quad (\delta E \text{ 为仅在 } n(\vec{p}) \text{ 上的变化}) \quad \text{or} \quad \delta E[n(\vec{p})] = \int E(\vec{p}) \delta n(\vec{p}) d\vec{p}$$

在初始分布为基态（阶跃函数）时，分布函数的微小变化（微扰）（这上为特征  $n(\vec{p})$  良定义）代表了  $f(\vec{p}, \vec{p}')$  并非任意函数（也包含早期分布  $\sim \text{Pois}$ ）

可以通过线性关系式  $\delta E(\vec{p}) = \int f(\vec{p}, \vec{p}') n(\vec{p}') d\vec{p}'$  来给出。（由于  $E(\vec{p})$  也不再是任意）

$E(\vec{p})$ ， $f(\vec{p}, \vec{p}')$  分别是  $E[n(\vec{p})]$  对  $n(\vec{p})$  的一阶与二阶导数。

如果加入自能可写为  $\delta E = \sum_{\vec{p}_0} E(\vec{p}_0, 0) \delta n(\vec{p}_0, 0) + \frac{1}{2V} \sum_{\vec{p}_0, \vec{p}_0'} f(\vec{p}_0, 0; \vec{p}_0', 0) \delta n(\vec{p}_0, 0) \delta n(\vec{p}_0', 0)$

其中  $\delta n$  为分布相对基态的微小变化， $E(\vec{p}, 0)$  不再是任意函数，而是基态分布下的函数

由于  $f(\vec{p}_0, 0; \vec{p}_0', 0)$  关于变量对称（二阶导） $\frac{\delta(\frac{\delta E}{\delta n(\vec{p})})}{\delta n(\vec{p})}$ ，因此一般为  $a + b \vec{S}_1 \cdot \vec{S}_2$  形式， $a, b$  仅与  $\langle \vec{p}, \vec{p}' \rangle$  相关。

为了找到  $n(\vec{p})$  对  $E(\vec{p})$  的表达式依赖于，根据  $S/k = - \sum (\ln n + (1+n) \ln(1+n))$ ，再由  $\delta F / \delta n = 0$  的条件

$$n(\vec{p}, 0) = \frac{1}{e^{(E(\vec{p}, 0) - \mu) / kT} + 1}, \quad \text{一般 } E \text{ 为任意函数 (即 } \langle \vec{p}, \vec{p}' \rangle \text{), } E \text{ 为函数}$$

在高量子的近似时， $E(\vec{p}, 0)$  可以作泰勒近似  $E(\vec{p} \approx \vec{p}_F) = E_F + \left(\frac{\partial E}{\partial p}\right)_{p=p_F} (p - p_F) + \dots \approx E_F + u_F (p - p_F)$

其中  $u_F$  为费米面上 1 位粒子的速度（与粒子  $v_F$  对应）。

同时定义  $m^* = \frac{p_F}{u_F} = \frac{p_F}{(\partial E / \partial p)_{p=p_F}}$  并称之为 1 位粒子在动量  $p_F$  下的有效质量。

Tip: 可以用另一种方式看， $E(p \approx p_F) = \frac{p^2}{2m} + V(p) = \frac{p^2}{2m^*} + \text{const}$

这类似于在  $p_F$  下的其他粒子的相互作用，看作平均场，故有了有效质量。

$$\text{对 } p \text{ 求导再令 } p = p_F \Rightarrow \frac{1}{m^*} = \frac{1}{m} + \frac{1}{p_F} \left. \frac{dV(p)}{dp} \right|_{p=p_F}$$

$m^*$  的量很有用，因为在低温条件下， $\bar{n}$  与  $E(\vec{p}, 0)$  的关系与气体一致， $S$  用  $\bar{n}$  的表达式也与气体一致。

根据 (4) 位下  $C_V \approx S \approx \frac{\pi^2}{3} k^2 T a C(E_F)$ ， $a$  为单粒子态密度，可以得知，唯一不同在于，费米面附近的态密度

$$\text{中用 } m^* \text{ 替代 } m \Rightarrow \frac{(C_V)_{\text{real}}}{(C_V)_{\text{ideal}}} = \frac{m^*}{m}$$

以下求在  $p$  已知前提下， $m$  与  $m^*$  的关系式

$$\int \vec{p} n(\vec{p}) d\vec{p} = m \int \frac{\partial E(\vec{p})}{\partial \vec{p}} n(\vec{p}) d\vec{p}, \quad \text{即 动量守恒} = \text{粒子的质量通量 (粒子用 } \vec{p} \text{ 位粒子与粒子一一对应)}$$

取微扰  $n(\vec{p})$  作一个变化  $\delta n(\vec{p})$ ，则右边的变化为

$$\int \vec{p} \delta n d\vec{p} = m \int \frac{\partial E}{\partial \vec{p}} \delta n d\vec{p} + m \int d\vec{p} \int d\vec{p}' \frac{\partial f(\vec{p}, \vec{p}')}{\partial \vec{p}} \delta n(\vec{p}') n(\vec{p}) \quad (\text{这里暂时不考虑自能})$$

$$= m \int \frac{\partial E}{\partial \vec{p}} \delta n d\vec{p} - m \int d\vec{p} \int d\vec{p}' f(\vec{p}, \vec{p}') \frac{\partial n'}{\partial \vec{p}} \delta n(\vec{p}') \quad (\text{用了 } f(\vec{p}, \vec{p}') = f(\vec{p}', \vec{p})) \text{ 以及变量替换, 令 } \vec{p}' = \vec{p}'$$

$$\text{由于 } \delta n(\vec{p}) \text{ 任意} \Rightarrow \frac{\vec{p}}{m} = \frac{\partial E(\vec{p})}{\partial \vec{p}} - \int d\vec{p}' f(\vec{p}, \vec{p}') \frac{\partial n(\vec{p}')}{\partial \vec{p}}$$

由于此时分布接近  $\theta(p - p_F)$ ，且以上各量均仅对  $E \approx E_F$  的准粒子而言，因此以  $\theta(p - p_F)$  替代  $n(\vec{p})$ 。

利用梯度和在球坐标下的表达式  $\frac{\partial n(\vec{p}')}{\partial \vec{p}'} = -\frac{\vec{p}'}{p'} \delta(p' - p_F)$  代入. 并由本末  $E_F$  附近  $m^*$ , 因此将  $\vec{p}$  取为  $\vec{p}$

两边点乘  $\vec{p}$  再用  $\vec{p}^2 \Rightarrow \frac{1}{m} = \frac{1}{m^*} + \frac{4p_F}{2k^2} \int d\Omega' \cos\theta f(\theta)$ .  $f(\theta) = f(\vec{p}, \vec{p}')$ .  $\theta = \langle \vec{p}_i, \vec{p}_j \rangle$ .  $d\Omega'$  为  $\hat{p}'$

由于4个自旋相同求和, 因此在4个自旋的  $\frac{1}{m} = \frac{1}{m^*} + \frac{p_F}{2k^2} \sum_{\sigma\sigma'} \int d\Omega' \cos\theta f_{\sigma\sigma'}(\theta)$

在绝对零度下, 声速(热力学平衡)之向上因为  $c \rightarrow \infty$  而为零, 但这里考虑其平均的声速极限

此时由于  $T=0$ , 声速与声高不分区.  $c_0^2 = \frac{\partial P_0}{\partial \rho} = \frac{\partial P_0}{\partial(mNV)} = -\frac{v^2}{mN} \left(\frac{\partial P_0}{\partial v}\right)_{N,T}$

在  $T=0$  下,  $dE = dS = 0$ , 因此有  $\mu_0 N = P_0 dV$ ,  $\mu$  及  $\mu_0 N = E - TS + P_0 V \Rightarrow N d\mu_0 = V dP_0$

$\Rightarrow \left(\frac{\partial P_0}{\partial v}\right)_{N,T} = \frac{N}{V} \left(\frac{\partial \mu_0}{\partial v}\right)_{N,T} = -\frac{N^2}{V^2} \left(\frac{\partial \mu_0}{\partial N}\right)_{N,T}$  代入得  $c_0^2 = \frac{N}{m} \left(\frac{\partial \mu_0}{\partial N}\right)_{N,T}$

进一步利用  $\mu_0 = E(\vec{p}) = E_F$ , 那么  $\delta \mu_0 = \delta E_F = \frac{\partial E_F}{\partial p_F} \delta p_F + \int f(\vec{p}, \vec{p}') \delta n(\vec{p}') d\tau'$

$\delta p_F = \left(\frac{\partial p_F}{\partial N}\right)_{N,T} \delta N = \frac{1}{3} \frac{p_F}{N} \delta N$ ,  $\frac{\partial E_F}{\partial p_F} \delta p_F = \frac{p_F^2}{3m^*} \frac{\delta N}{N}$

假设仅在  $p \sim p_F$  的,  $\delta n$  非零, 且近似为常数  $\int f(\vec{p}, \vec{p}') \delta n(\vec{p}') d\tau' = \frac{\delta N}{4\pi v} \int f(\theta) d\Omega'$   $f$  为  $T=0$  的  $f$ .

代入得  $\left(\frac{\partial \mu_0}{\partial N}\right)_{N,T} = \frac{p_F^2}{3m^* N} + \frac{1}{4\pi v} \int f(\theta) d\Omega' \Rightarrow c_0^2 = \frac{p_F^2}{3mm^*} + \frac{v}{4\pi m} \int f(\theta) d\Omega' = \frac{p_F^2}{3mm^*} + \frac{p_F^3}{6mm^*} \int f(\theta) (1+\cos\theta) d\Omega'$

例如研究用  $\mu$  表相互作用的修正非理想气体.

将  $E^{(1)}$  与  $E^{(2)}$  相加, 本对  $n(\vec{p}, \sigma)$  的  $\mu$  以子, 再代入  $p = p_F$ , 再求声速为致. 子得

$f(\vec{p}, \sigma; \vec{p}', \sigma') = A(\theta) + B(\theta) \vec{S}_i \cdot \vec{S}_j$  (依赖于自旋的  $\mu$  及  $\sigma$  及  $\sigma'$ )

$$A(\theta) = \frac{2\pi a^2}{m} \left[ 1 + 2a \left(\frac{3N}{4V}\right)^{1/3} \left\{ 2 + \frac{\cos\theta}{2\sin(\theta/2)} \ln \frac{1+\sin(\theta/2)}{1-\sin(\theta/2)} \right\} \right]$$

$$B(\theta) = -\frac{8\pi a^2}{m} \left[ 1 + 2a \left(\frac{3N}{4V}\right)^{1/3} \left\{ 1 - \frac{1}{2} \sin\left(\frac{\theta}{2}\right) \ln \frac{1+\sin(\theta/2)}{1-\sin(\theta/2)} \right\} \right]$$

但由于对自旋的本后中,  $\vec{S}_i \cdot \vec{S}_j$  平均值  $(+1) + (-1) + (-1) + (+1) = 0$  因此只考虑  $A$  的关于自旋的修正

代入  $A(\theta)$  的  $\frac{1}{m^*} = \frac{1}{m} - \frac{8}{15m} (7k^2 - 1) \left(\frac{3N}{4V}\right)^{2/3} a^2$ , 与  $c_0^2 = \frac{p_F^2}{3m^*} + \frac{2\pi a^2 v^2}{m} \frac{4}{V} \left[ 1 + \frac{4}{15} (11 - 2k^2) \left(\frac{3N}{4V}\right)^{1/3} \right]$  与  $574$  一致.

### §9. 费米子气的凝聚

若 Fermions 之间相互作用吸引, 有限低温时(在  $T=0$  的附近) 有非 Fermi Gas 都会开成 Cooper pair, 不再独立(以单)

一些现象: 金属超导,  $^3\text{He}$  超流, 天 $^2$  Fermi Gas 凝聚 由其导致.

在低温超导中, 屏蔽效应在电子对的合使使得的两侧电子有快速吸引作用. 形成 Cooper pair

超导临界温度  $T_c$  以  $k_B T_c \sim \hbar \omega_0 e^{-N(E_F) \hbar U_0}$ ,  $N(E_F)$  为 Fermi 面上每个自旋态的态密度,  $\hbar \omega_0$  为声子的吸引耦合,  $\hbar U_0$  为(材料)常数. (表电子作用)

由此可见, 超导并非  $\hbar \omega_0$  做扰的结果

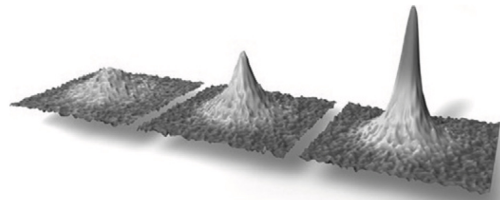
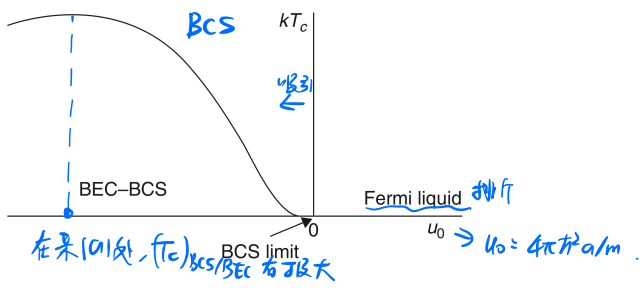
利用 Feshbach 共振调节了原子-原子相互作用大小与正反, 如制造低维原子系统, 电子气的吸引不形成分子.

在  $\hbar \omega_0$  较小时, 形成 BCS 态, 在  $\hbar \omega_0$  较大时, 又经过渡到 BEC 态.

在  $\hbar \omega_0$  较小条件下 BCS/BEC 相变  $T_c$  为  $\frac{k_B T_c}{\hbar \omega_0} \sim \frac{E_F}{\hbar \omega_0} e^{-\frac{\pi}{2k_F a}}$ ,  $\omega_0 = (c_{longitudinal})^{1/3}$ ,  $k_F = \sqrt{\frac{2m E_F}{\hbar^2}}$  (在  $10^4$  附近)

相反  $T_c$  为  $\frac{k_B T_c}{\hbar \omega_0} \sim \left[\frac{N}{3\pi^2}\right]^{1/3}$ , 而  $\frac{k_B T_c}{E_F} \sim 0.41$  (在  $10^4$  较大时)

因此通过 开始  $10^4$  附近, 相互作用弱的, 到最低点才开成 BEC. 后来  $10^4$  大, 即表明出现 BCS-BEC 交叉



飞行的问题, 不同 $|a|$  (用 $|a|$ ) 相同比长  $1/T_c \propto u_0$   
 随着 $|a|$  变大, 凝聚体 占比增加 (1% ~ 10%)